

北海道大学 正 高桑 哲男
北海道大学 正 寺町 和宏
○北海道大学 学 武智 弘明

1はじめに

回転円板法についてのモデル化は従来より試みられてきたが、非線形モデルであつたり、統合的に述べていなかつて満足しかねるものであった。本報文は、汎用化を意図した液膜拡散律連型モデルを提示し、基質濃度の十分高い範囲での適合性について検討したものである。

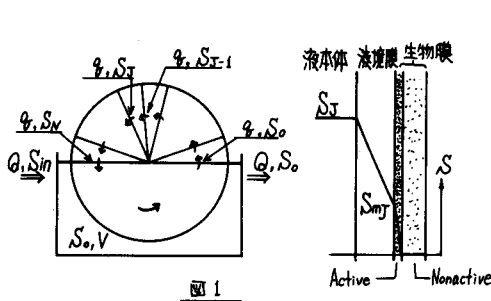
2 物質収支モデル

物質収支は基質・酸素・生物量・水量について設定されるが、上述の範囲で基質・水量について考えることとする。即ちモデルは図1に於いて式(1)～(4)の如くなる。

$$\text{槽内} \left\{ \begin{array}{l} \text{液体側} Q \cdot S_{in} + g \cdot S_N - Q \cdot S_o - g \cdot S_o - \frac{A}{2} \cdot K(S_o - S_{mo}) = V \frac{dS_o}{dt} \\ \text{生物膜側} \frac{A}{2} \cdot K(S_o - S_{mo}) - \frac{A}{2} \cdot b \cdot M = C \frac{dS_{mo}}{dt} \end{array} \right. \quad \cdots (1)$$

$$\text{空中部} \left\{ \begin{array}{l} \text{付着水側} g \cdot S_{J-1} - g \cdot S_J - \frac{A}{2N} \cdot K(S_J - S_{mJ}) = \frac{V}{N} \frac{dS_J}{dt} \\ \text{生物膜側} \frac{A}{2N} \cdot K(S_J - S_{mJ}) - \frac{b}{2N} \cdot b \cdot M = C \frac{dS_{mJ}}{dt} \end{array} \right. \quad \cdots (2) \quad \left. \begin{array}{l} (J=1, N) \\ (J=1, N) \end{array} \right\} \quad \begin{array}{l} N: \text{等分したJ番目} \\ \text{についての式である。} \end{array}$$

$$\left. \begin{array}{l} \text{付着水側} g \cdot S_{J-1} - g \cdot S_J - \frac{A}{2N} \cdot K(S_J - S_{mJ}) = \frac{V}{N} \frac{dS_J}{dt} \\ \text{生物膜側} \frac{A}{2N} \cdot K(S_J - S_{mJ}) - \frac{b}{2N} \cdot b \cdot M = C \frac{dS_{mJ}}{dt} \end{array} \right. \quad \cdots (3) \quad \left. \begin{array}{l} (J=1, N) \\ (J=1, N) \end{array} \right\} \quad \begin{array}{l} N: \text{等分したJ番目} \\ \text{についての式である。} \end{array}$$



Q : 流入水量(l/hr) S_{in} : 流入基質濃度(mg/l)

g : 付着水量(l/hr) S_o : 槽内基質濃度(mg/l)

A : 円板面積(m^2) m : 生物膜側を示す添字

K : 移動定数(cm/sec) V : 槽容積(l) M : 生体量(mg/l)

b : 酸化速度定数($l/m^2 \cdot hr$) v : 付着水體積(cm^3)

C : 係数(l) N : 分割個数 S_J : J 番目の濃度(mg/l)

V , g に關しては Groenveld²⁾の結果から Bintangi³⁾が円板付着水膜厚さを求めた式(5)があり、これから平均水膜厚さは式(6)となる。また V , g は各々式(7)(8)で求まる。但し係数は円板材質によって異なるので式(6)は実験に用いた円板の実測値と合致するよう修正した。

$$\bar{s} = 0.66 \cdot (\frac{\gamma w r}{\rho g})^{1/2} \quad \cdots (5) \quad \bar{s}: \text{水膜厚(cm)} \quad \gamma: \text{粘性係数(P)}$$

$$\bar{s} = 0.47 \cdot (\frac{\gamma w R}{\rho g})^{1/2} \quad \cdots (6) \quad \omega: \text{円板回転数(r.p.second)} \quad r: \text{半径(cm)}$$

$$V = \frac{A}{2} \cdot \bar{s} \quad \cdots (7) \quad R: \text{円板半径(cm)} \quad \rho: \text{密度(g/cm}^3\text{)}$$

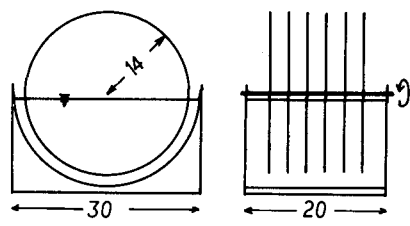
$$g = \frac{A}{2} \cdot \bar{s} \cdot \omega \quad \cdots (8) \quad g: \text{重力加速度(cm/sec}^2\text{)} \quad \bar{s}: \text{平均水膜厚(cm)}$$

3 実験装置及び分析方法

実験に用いた装置は右図2に示したとおり、槽容積5.8l、円板面積は0.739 m^2 である。回転数が24 rpmのとき V , g は各々 1.05 cm^3 , 75.6 l/hr となつた。

基質には NH_4Cl を用い、 NaOH で pH 調整を施した。1ヶ月の馴化の後安定したことを確認し、実験を行なつた。

分析方法としては、 $\text{NH}_4\text{-N}$ は Indo-Phenol 法⁴⁾、 O_2 は EIL 社の



15A型を用いた。水温は $23^{\circ}\text{C} \pm 3\text{deg}$, pHは 7.0 ± 0.5 と設定した。 NO_2-N は常に 1mg/l 以下であり、Nについての物質収支はほぼとれていたので、除去された NH_4-N は全量 NO_3-N に変わったと考えられる。

4 定常状態について

定常状態であれば式(1)～(4)の右辺=0とおける。式(3)(4)について $J=1$, Nの和をとり式(1)(2)と合計すると式(9)となる。さらに空中部での各ブロックの濃度 S_J は式(10)で求まる。

$$Q \cdot S_{in} - Q \cdot S_o = b \cdot A \cdot M \quad \dots (9)$$

$$S_J = S_{J-1} - \frac{b}{2N^2} \cdot A \cdot M \quad \dots (10)$$

$Q = 1.8 \text{ l/hr}$, $S_{in} = 49.16 \text{ mg/l}$ と設定したとき S_o は 23.39 mg/l となった。このとき S_N は 23.08% と計算される。 $\theta = 75.6\%$ なので空中部での除去量は式(1)～(4)でも明らかのように 50% となる。一方従来へ考え方による酸素移動速度を表わす式(11)によると、このとき θ_D は 72% 、水温 23°C なので酸素移動

$$\frac{dc}{dt} = \frac{Q}{V} (C_{in} - C) + K_{La} (C_s - C) \quad \dots (11) \quad C: 槽内酸素濃度(mg/l) \quad C_{in}: 流入水酸素濃度(mg/l) \\ C_s: 饶和酸素濃度(mg/l) \quad K_{La}: 酸素移動係数(hr^{-1})$$

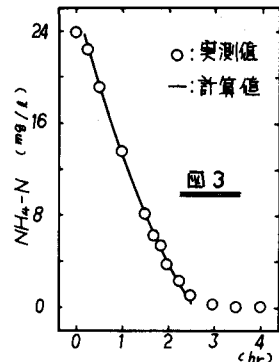
速度は 19.14 mg/l hr となり、全量が NO_3-N の生成に使われたとすると $4.18 \text{ NO}_3-\text{N mg/l hr}$ の生成速度となる。しかしながら実際には $8.0 \text{ NO}_3-\text{N mg/l hr}$ の生成速度があったから 48% の酸素は式(11)では考えていなかる経路(即ち空中部)によるものと言えよう。また式(2)の b と式(4)の b を等しいとした考え方は妥当であったと言えよう。

5 Batch 試験について

定常状態からは係数の b しか決まらないのでBatch試験から C/K の値を推定する。式(1)(2)を積分し式(10)を合わせると式(12)が導かれる。

$$V \cdot S_o = F - \frac{2}{3} b \cdot A \cdot M + \frac{F}{E} E \cdot \exp(-\frac{AK}{2C} t) \quad \dots (12) \quad E, F: 積分定数$$

実験値と、非線形最小二乗法を用いた計算値を図3に示すが、基質濃度の十分高い範囲ではよく合致している。



6 結語

回転円板法の酸化作用についてモデルを作成し、槽内基質濃度の十分高い領域で検討した結果、十分な適合性のあることがわかった。また酸化速度を増す上では径(面積)を大きくすることだけではなく、回転数を増すことでも考慮すべきことがわかった。今後更に酸素・生物量の式を合わせて統合的に検討する予定である。

尚ほ講座へ堀尾豊君には実験に協力して頂いた。ここに謝意を表するものです。本計算の一部は北海道大学大型計算機センター FACOM 230-75 を用いた。

7 参考文献

- 1) 例えば神山・加藤 “回転円板接触体法の淨化機構” 環境技術 vol.4 no.7 pp499～ 1975
- 2) Groenveld, P. “Dipcoating by withdrawal of liquid films”
- 3) Bintanja, H. et.al. “Oxygen transfer in a Rotating Disc treatment plant” Water Research vol. 9 pp 1147～ 1975
- 4) Scheiner, D. “Determination of Ammonia & Kjeldar Nitrogen by Indo-Phenol Method” Water Research vol. 10 pp 31～ 1976